

# 深海宇宙尘的初步研究

彭汉昌 赵奎寰 陈穗田

(国家海洋局第一海洋研究所)

1978—1979年，我国海洋调查船“向阳红09”号在参加首次全球大气试验活动中，从中太平洋西部海域( $10^{\circ}\text{S}$ — $5^{\circ}\text{N}$ ,  $160^{\circ}$ — $173^{\circ}\text{E}$ )数千米深的洋底采回了表层及柱状沉积样品。当我们在对样品进行矿物分析时，发现其中含有许多铁质、硅酸盐质和硅酸盐玻璃质球粒(图1)。经初步分析认为，它们是来自地球之外的宇宙尘。现就主要的分析结果略述于下：



图1 铁质(a)硅酸盐质(b)和硅酸盐玻璃质(c)宇宙尘  
(实体显微镜下,  $\times 34$ , 其中最大的硅酸盐质棱角状宇宙尘的实际大小为0.42毫米)

## 一、显微特征

在一般五、六十倍的实体显微镜下，可以清楚地看到铁质宇宙尘为黑色或褐黑色的滚圆球粒，表面光亮耀眼，形如一颗颗闪闪发光的小钢球，有的球粒表面还留有熔蚀坑穴。铁质宇宙尘都具有强磁性，所以国外研究者称之为“磁球”(图1a)。

硅酸盐质宇宙尘为暗绿色或暗褐色且带有灰白色调的球状、椭球状或棱角状颗粒，有的颗粒上粘附有赤铁矿碎屑。硅酸盐质宇宙尘也有磁性，但比铁质宇宙尘弱(图1b)。

硅酸盐玻璃质宇宙尘为无色透明或淡黄绿色的玻璃状球体，有的球体表面布有圆形凹坑。硅酸盐玻璃质宇宙尘没有磁性(图1c)。

以上三种宇宙尘的粒径大小多为20—200微米，最大者为420微米。它们在各种沉积物(生物软泥和红色粘土)中的含量，以铁质宇宙尘为最高，硅酸盐质宇宙尘次之，硅酸盐玻璃质宇宙尘仅见于柱状样的个别层位中。

## 二、化学成分

对上述三种宇宙尘的不同颗粒试样主要作了电子探针分析，其结果列于表1中，并附有各自的X射线截面分布图象(图2)。

本文1980年5月10日收到。

表 1 深海宇宙尘电子探针分析结果

类型	氧化物 样号	MgO	Al <sub>2</sub> O <sub>3</sub>	SiO <sub>2</sub>	K <sub>2</sub> O	Na <sub>2</sub> O	CaO	TiO <sub>2</sub>	FeO*	MnO	Fe**	Ni	备注
铁质宇宙尘	NO <sub>1</sub>	—	—	—	—	—	—	—	—	—	61.37	37.89	核心 (图 2a)
	NO <sub>1</sub>	—	—	—	—	—	—	—	—	—	71.19	0.30	外壳 (图 2b)
硅酸盐质宇宙尘	NO <sub>2</sub>	27.10	2.59	35.33	—	—	2.16	0.14	34.28	0.18	—	0.28	图 2c
	NO <sub>3</sub>	26.81	2.32	35.53	—	—	2.18	0.09	34.09	0.10	—	0.70	
硅酸盐玻璃质宇宙尘	NO <sub>4</sub>	3.01	15.89	66.06	2.93	0.08	2.70	0.95	6.11	0.09	—	—	图 2d

\* FeO 由全铁换算而成； \*\* Fe 应为全铁。分析者：冶金部地质研究所庄世杰。

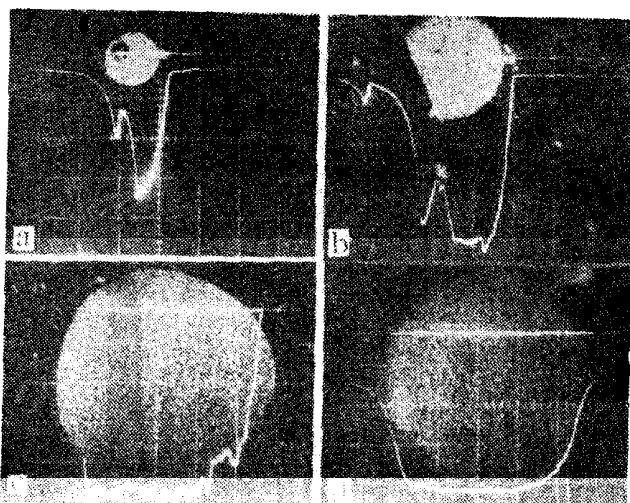


图 2 深海宇宙尘 X 射线截面分布象

- a. 铁质宇宙尘 (NO<sub>1</sub> 核心) NiK $\alpha$  X 射线截面分布象,  $\times 150$ ;
- b. 铁质宇宙尘 (NO<sub>1</sub> 外壳) FeK $\alpha$  X 射线截面分布象,  $\times 150$ ;
- c. 硅酸盐质宇宙尘 (NO<sub>2</sub>) FeK $\alpha$  X 射线截面分布象,  $\times 135$ ;
- d. 硅酸盐玻璃质宇宙尘 (NO<sub>4</sub>) FeK $\alpha$  X 射线截面分布象,  $\times 135$

由此看出，铁质宇宙尘是由内核和外壳构成，内核的化学成分主要是铁和镍，外壳主要是铁。硅酸盐质宇宙尘的化学成分是由各种氧化物组成，其中 MgO、SiO<sub>2</sub> 和 FeO 的含量相对较高，镍的含量极微。硅酸盐玻璃质宇宙尘的化学成分中 SiO<sub>2</sub> 的含量最高，Al<sub>2</sub>O<sub>3</sub> 的含量次之，其它成分的含量都较低。这些特征与国外所报道的同类宇宙尘的化学成分基本相似<sup>[1]</sup>。

### 三、矿物成分

利用 X 射线粉晶照相法对铁质宇宙尘作了矿物成分分析。实验条件为：Fe 靶，未滤波，电压 35 千伏，电流 10 毫安，曝光 16 小时，相机直径 57.3 毫米。将测得结果列于表 2 中，并与标准矿物及国外所测同类宇宙尘资料作了对比<sup>[3]</sup>。从与标准矿物的  $d$  值对照来看，试样中含主要矿物为磁铁矿 ( $Fe_3O_4$ ,  $d_0 = 8.394 \pm 0.008 \text{ \AA}$ )，次要矿物为方铁矿 ( $FeO$ ,  $d_0 = 4.279 \pm 0.0018 \text{ \AA}$ )。

表2 铁质宇宙尘X射线粉晶照相结果对比

No	标准矿物 <sup>[3]</sup>				太平洋底的宇宙尘			
	磁铁矿 (Fe <sub>3</sub> O <sub>4</sub> )		方铁矿 (FeO)		中国采*(L1025) 6°00' 07"S, 173°15'06"E (水深 5443米)		日本采 <sup>[2]</sup> (2-12-1) 11°00'07"S, 146°00'26"W(水深 4912米)	
1	<i>d</i> (Å)	相对强度	<i>d</i> (Å)	相对强度	<i>d</i> (Å)	相对强度	<i>d</i> (Å)	相对强度
1	4.86	W			4.847	W	4.91	MW
2					3.298	VW		
3					3.147	VW		
4	2.98	M			2.963	S	2.98	M
5					2.788	M		
6					2.699	VW		
7	2.54	S			2.528	VS	2.56	S
8			2.47	S	2.471	VW	2.48	MW
9	2.43	MW			2.421	VW	2.42	W
10					2.311	VW		
11			2.14	MS	2.139	W	2.16	M
12	2.10	M			2.099	M	2.096	M
13					1.974	W		
14					1.935	VW		
15					1.794	VW	1.82	VW
16	1.71	M			1.715	W	1.72	M
17					1.633	W	1.62	MS
18	1.61	MS			1.616	S		
19			1.51	MW	1.514	M	1.51	M
20	1.486	S			1.481	W	1.484	MS
21	1.329	W			1.330	W	1.327	VW
22	1.282	M			1.281	VS	1.285	MW
23					1.265	VW		
24			1.241	W	1.235	VW	1.239	W
25	1.212	W			1.213	VW		
26					1.206	VW	1.208	W
27					1.157	W		
28	1.123	W			1.123	VW	1.116	MW
29	1.094	M			1.092	W	1.073	VW
30			1.074	W	1.069	W		
31					1.0499 $\alpha_1$	M		
32	1.051	W			1.0493 $\alpha_2$	M	1.048	VW
33	0.972	MW	0.986	W	0.990	VW	0.984	VW

注: VS:最强; S:强; MS:稍强; M:中; MW:稍弱; W:弱; VW:最弱。\* 中国科学院地质研究所李家驹测定。

据有关资料指出,由于宇宙尘所含矿物的复杂性,多种矿物面网间距往往十分接近,难于区分,即或同一种矿物因所含微量元素的干扰,常常出现衍射线缺失和位置变化。这些因素都给矿物鉴定带来一定困难<sup>[3]</sup>。从我们拍摄的德拜图看,也出现了类似情形。

#### 四、微结构

我们对上述三种宇宙尘进行了表面及断面上的扫描电镜观察,并拍摄了电子象照片。

铁质宇宙尘: 表面多具有流纹构造和龟裂纹结构(图3a),新鲜断面清楚地显示出由外壳

层和内核所组成的双重结构，且内核中的流纹构造同样清楚可见(图 3b)。



图 3

a. 铁质宇宙尘表面的龟裂纹结构 (SEM,  $\times 480$ ); b. 铁质宇宙尘断面的双重结构 (SEM,  $\times 2,400$ )

硅酸盐质宇宙尘：表面除了有流纹构造外，往往还留有熔蚀构造(图 4a)，断面上还有残留构造，板状、柱状矿物晶体成层排列，它们可能是辉石类矿物(图 4b)。



图 4

a. 硅酸盐质宇宙尘的表面熔蚀构造 (SEM,  $\times 240$ ); b. 硅酸盐质宇宙尘的断面残留构造 (SEM,  $\times 960$ );  
c. 硅酸盐玻璃质宇宙尘的表面气印构造 (SEM,  $\times 240$ );

硅酸盐玻璃质宇宙尘：从它的表面图象中可以清楚地看到大小不等的凹坑(图 4c)。

## 五、简单结语

通过以上分析结果的概述，我们认为三种不同类型之球粒或稜角状尘粒不是地球上固有的，而是陨落物质以每秒钟数十公里的速度冲向地球，当与地球大气碰撞、摩擦以及在冲击波的作用下，因高温高压作用使得陨落物质发生燃烧、熔融，后来因速度降低，温度骤然减低，致使熔融物质迅速冷却，从而形成了特殊形态和结构的不同种宇宙尘粒。

致谢：本文曾得到刘敏厚同志的指导，深海组的同志提供了研究样品。此外，还得到了于众、宋华中、毛兴元、李家驹、庄世杰、李维华等同志，以及山东省地质局中心实验室的支持和帮助，在此一并致谢。

## 参 考 文 献

- [1] 小林和男，海洋底地球科学，1977，239—241。
- [2] 岛诚，海洋科学，1972，通卷 28 号。
- [3] 田沢雄二，海洋科学，1979，通卷 116 号。